## 4.3. Les Radiers

Lorsque la conception de semelles filantes ne devient plus possible, le choix de la conception Radier .auler nervuré (le plus courant)

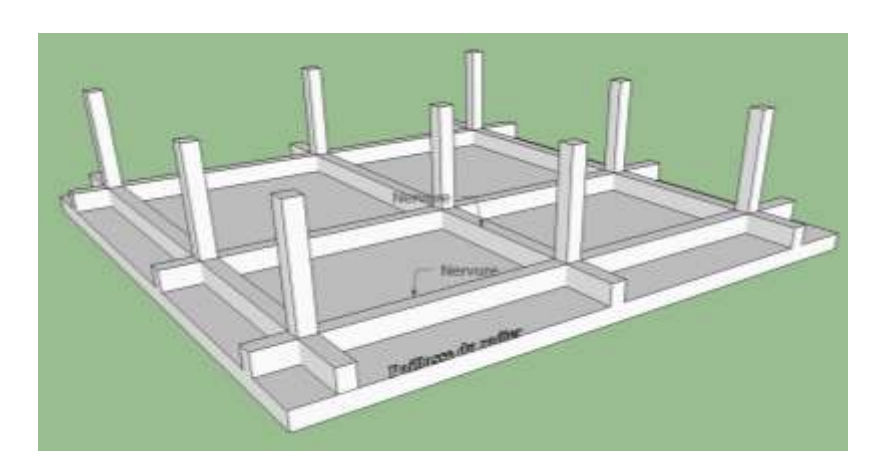
Le radier champignon sous poteaux (très peu utilisé).

Le radier voûte (rarement utilisé).

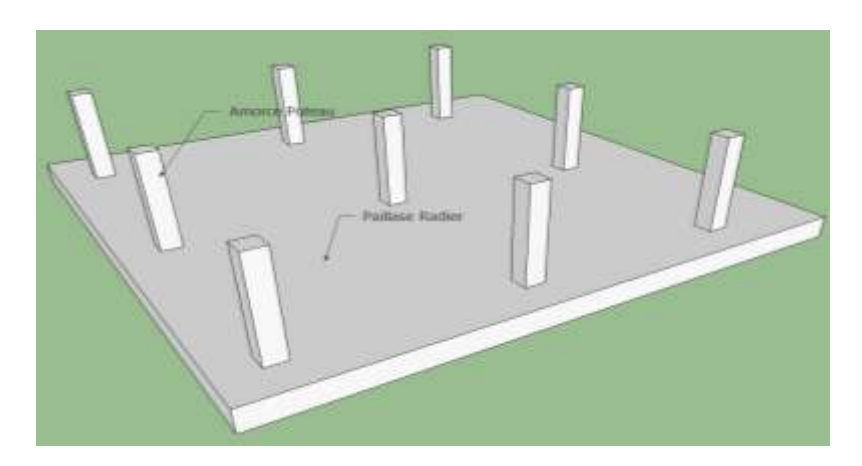
igures suivantes sont représenté s'impose

il existe quatre types de radiers :

Sur les figures suivantes sont représentés les trois principales conceptions de radier usuellement retenues



Radier Nervuré



Radier Dalle

#### Remarques.

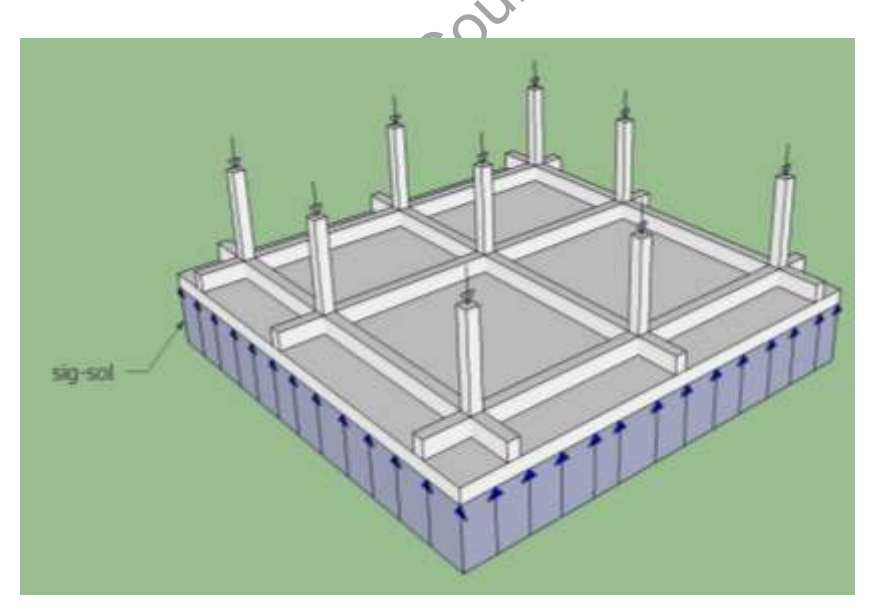
- Le radier nervuré est de loin le plus économique
  - 40cm≤ Épaisseur Paillasse ≤1m

- $0.5m \le H_{nevure} \le 1.50 m$
- Le radier dalle n'est pas très économique
  - 70 cm ≤Épaisseur Paillasse ≤1.30m

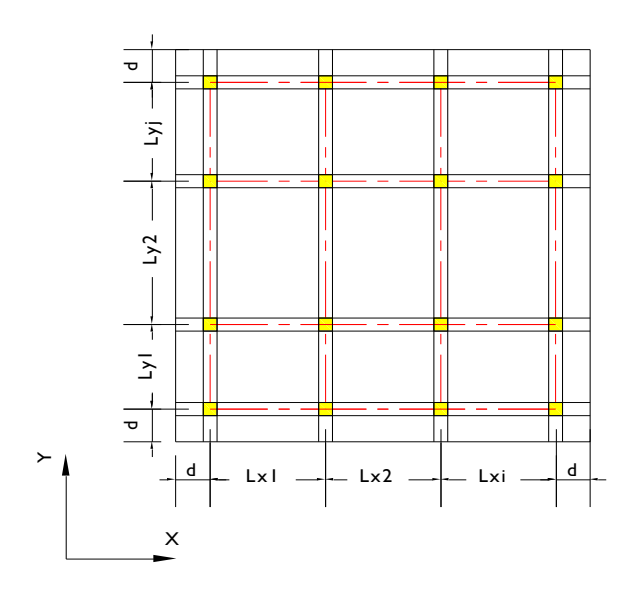
z. emdani EPAU C'est ainsi que l'on préfère le radier nervuré au radier dalle.

## 4.3.1.Dimensionnement des radiers

Sous l'action des charges extérieures appliquées sur le radier , il se développe sous ce dernier comme nous pouvons le voir sur la figure suivante. (dans le sol) une pression  $\,\sigma_{_{sol}}$ 



En observant la convention représentée sur la figure suivante on peut écrire :



Vue en plan Radier

$$\sigma = \frac{\sum\limits_{i=1}^{i=npotx} P_i}{(2d + \sum\limits_{i=1}^{n.trames \ / x} L_{xi}) \cdot (2d + \sum\limits_{j=1}^{n.trames \ / y} L_{yj})} \leq \overline{\sigma}_{SOL}$$
 Le terme au dénominateur n'est autre que la surface du radier : 
$$S_{RADIER} = (2d + \sum\limits_{i=1}^{n.trames \ / x} L_{xi}) \cdot (2d + \sum\limits_{j=1}^{n.trames \ / y} L_{yi})$$
 général, le débord des radier est le même suivant l'axe X et l'axe Y. Ce dernier est donné par elation suivante: 
$$\sum\limits_{i=npotx}^{i=npotx} P_i$$

Le terme au dénominateur n'est autre que la surface du radier :

$$S_{RADIER} = (2d + \sum_{i=1}^{n.trames / x} L_{xi}) \cdot (2d + \sum_{j=1}^{n.trames / y} L_{yj})$$

En général, le débord des radier est le même suivant l'axe X et l'axe Y. Ce dernier est donné par la relation suivante:

$$d \geq \frac{\sum\limits_{i=1}^{i=npotx} P_i}{2 \cdot (1 + \sum\limits_{i=1}^{n.trames / x} L_{xi}) \cdot (1 + \sum\limits_{j=1}^{n.trames / y} L_{yj}) \cdot \overline{\sigma}_{SOL}}$$

# 4.3.2. Ferraillage des Radiers

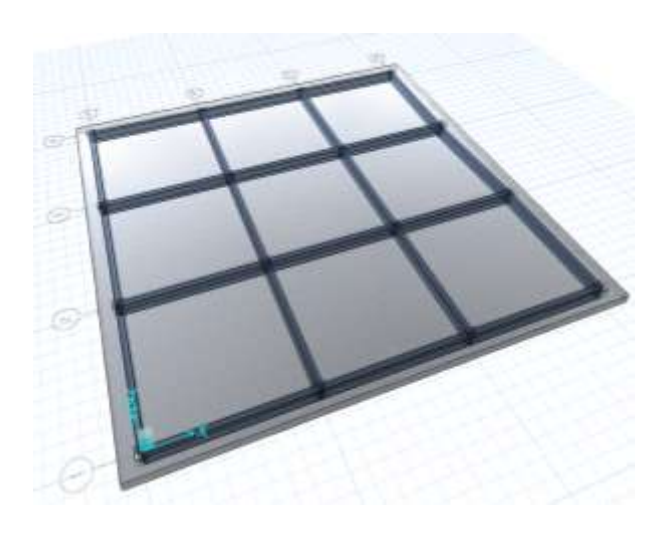
## 4.3.2.a. Ferraillage des nervure.

Pour ferrailler les nervures , on est tenu de déterminer le diagramme du moment de flexion le long de ces dernières.

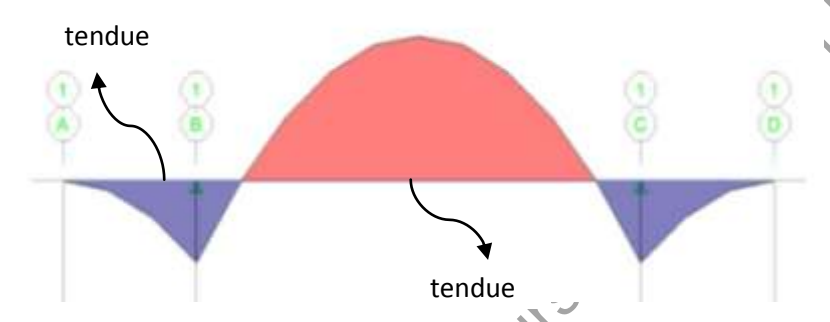
D'une manière générale, les nervures des radiers possèdent le même comportement que les nervures des semelles filantes c'est-à-dire.

- 1. En travée Fibre supérieure tendue
- 2. En Appui fibre inférieure tendue.

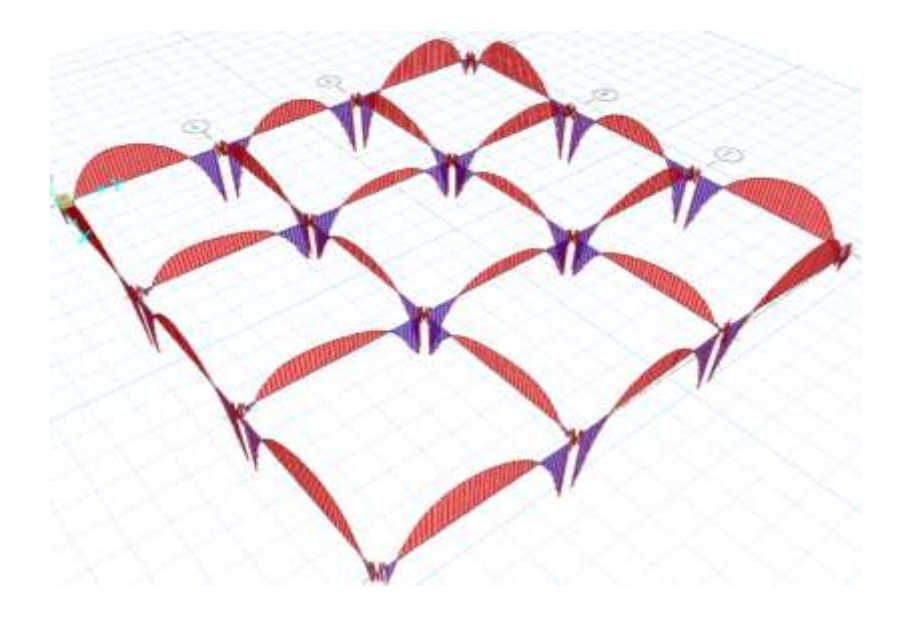
Prenons l'exemple suivant et analysons les diagrammes du moment de flexion dans les nervures.



Pour rappel , le digramme des moments fléchissants dans une Nervure semelle filante e présentait comme suit :



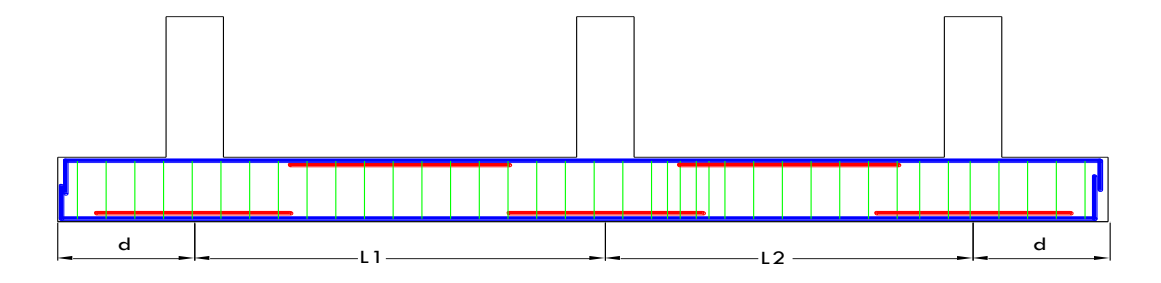
Ci après est représenté l'allure des diagramme de flexion dans les nervures du Radier.On remarque une certaine similitude avec l'allure des moments de flexion dans les nervures des semelles filantes.

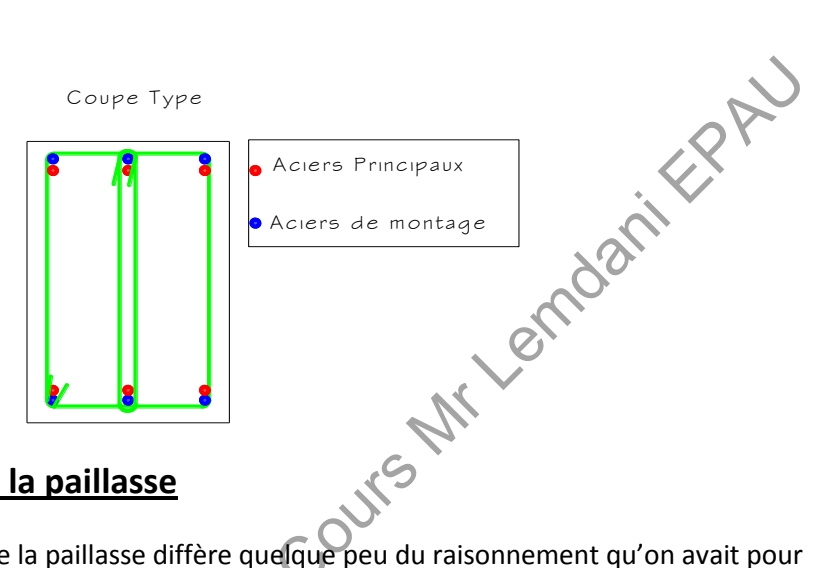


Allure des diagrammes de flexion dans le réseau des nervures du radier.

Il est clair que par similitude avec les semelles filantes , les nervures des radier seront ferraillées exactement de la même manière. A savoir :

- 1. En travée aciers disposés sur la fibre supérieure
- 2. En Appui aciers disposés sur la fibre inférieure





## 4.3.2.b. Ferraillage de la paillasse

Le traitement du ferraillage de la paillasse diffère quelque peu du raisonnement qu'on avait pour habitude de faire pour les nervures (poutre).

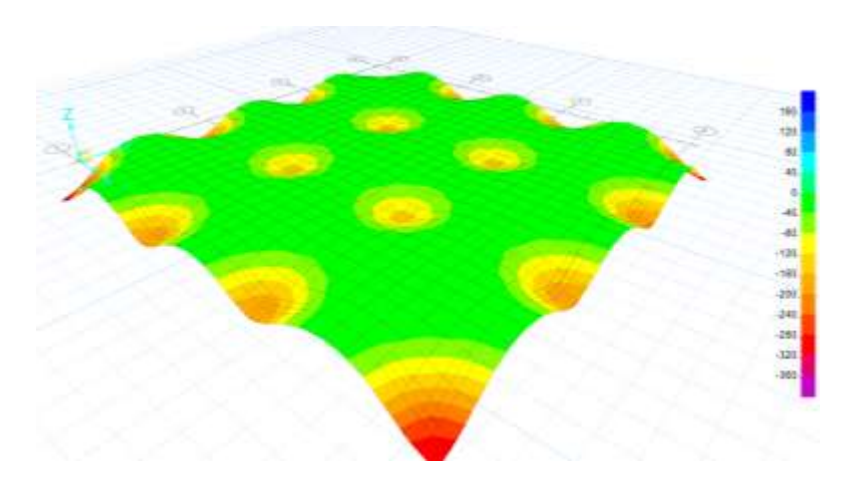
La paillasse est par sa nature un élément bidimensionnel (plaque) et la distribution des moments dans ces éléments particuliers ne relève pas de la théorie simplifiée de la RDM mais plutôt d'une théorie beaucoup plus développée 'la théorie des plaques et coque'.

Mais pour simplifier la chose nous pouvons assimiler une plaque et donc la paillasse du ,radier comme une superposition de poutre dans le sens X et Y .

Ainsi on parlera de deux moments de flexion l'un autour de l'axe X , Mxx L'autre autour de l'axe Y Myy

Le moment Mxx Provoquera une courbure dans le plan YZ tandis que le moment Myy Provoquera une courbure dans le plan XZ.

Pour la paillasse nous aurons alors une déformation avec une double courbure, le schéma de la déformée (déterminée par éléments finis) de la paillasse est donné par la figure suivante.



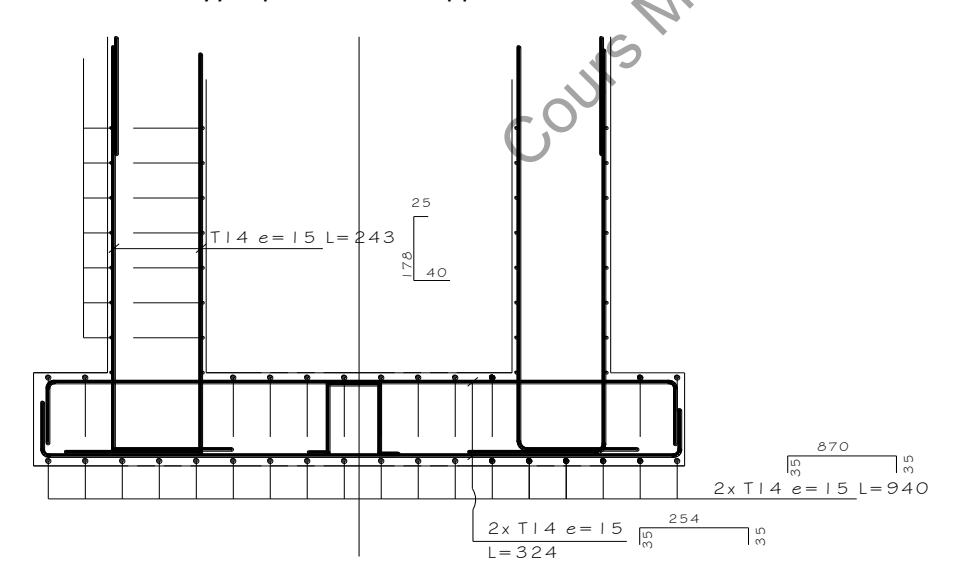
#### Déformée de la paillasse de radier sour la combinaison des charges permanentes et d'exploitation.

En examinant en détail la figure précédente, et plus précisément un panneau quelconque (encadré par quatre poteaux) nous remarquons que les moments Mxx et Myy sollicitent alternativement les fibres supérieures et inférieures comme suit:

- Zone centrale Mxx et Myy tendent les fibres sup.
- Zone proche des appuis 'poteaux' Mxx et Myy tendent les fibres inférieures.

On disposera dans la zone supérieure des panneaux des aciers dans le sens de X pour reprendre les moments Myy avec des aciers dans le sens de Y pour reprendre les moments Mxx c'est la nappe dite supérieure

• La même disposition devra aussi être observée en nappe inférieure pour reprendre les moments Mxx et Myy à proximité des appuis.



# **QUELQUES PHOTOS**







